

辨认各种额外 z^0 玻色子模型的一个方案

李铁忠

(中国高等科学技术中心(世界实验室), 北京)

(中国科学院高能物理研究所, 北京 100039)

摘 要

Boudjema 等人找到辨认各种额外 z^0 玻色子的理论来源的一个好方法, 它可将各种模型很好的区分开来, 我们用他们的方法对另一个模型进行了计算, 并将此结果与 E_6 等模型的结果做了比较.

关于额外 z^0 玻色子是否存在及它们的性质, 除较早的纯理论的探讨外^[1], 近年来的探讨与实验的联系日愈紧密, 与实验的比较日益精确^[2], 在此情况下, 理论的各种模型也日愈增加, 辨认额外 z^0 玻色子来源于哪个模型势不可免.

包括额外 z^0 玻色子的模型甚多, 大都是在标准模型基础上的扩充, 如左右对称的模型^[3], $SU(2)_q \times SU(2)_l \times U(1)_Y$ 模型^[4], E_6 模型^[5] 和 $SU(6)$ 模型^[6]. 由于 E_6 模型与超弦相联系, 而超弦模型曾红极一时, 故 E_6 模型险些被认为是额外 z^0 玻色子的唯一源泉. 然而近两年来某些研究表明, 超弦理论并不要求额外 z^0 玻色子, 甚至超弦在四维空间里也不一定非约化成一个等效的 E_6 理论^[7]. 此外, 某些超对称模型要求一个额外的 z^0 但并不是通常 E_6 的^[8]. E_6 包括两个额外的 z^0 . 我们可以问, 如果仅存在一个额外 z^0 玻色子, 实验最终将选择哪个模型呢? E_6 在这时有一个多余的 z^0 玻色子.

如果仅存在一个额外的 z^0 玻色子, 标准模型最小的扩充将是 $SU(3) \times SU(2) \times U(1) \times U(1)$. 这时包括一个额外 z^0 的最小的大统一理论(为减少篇幅, 下面以 GUT 代替大统一这一名词)将是 5 秩的群. 如果我们构造 GUT 的标准除一条之外(基础及其共轭表示可以重复)都与 Georgi 的相同^[9], 那么在单纯李群里有贡献的仅有 $SU(6)$ 和 $SO(10)$. $SO(10)$ 的 GUT (包括左右对称模型)实际上已被许多作者极详尽地讨论过了^[10].

过去的 $SU(6)$ 的 GUT 有许多缺点和问题, 已被中性流实验排除^[11], 且因两个 z^0 玻色子在同一个标度上破缺, 难于使额外 z^0 的质量满足目前的实验下限. 近年来建议的 $SU(6)$ 模型^[6] 与以往的有三点不同: ①可容纳大于 200 GeV 的额外 z^0 玻色子, 这个额外 z^0 的自发破缺标度比标准模型中 z^0 的高; ②从标准模型色和味的角度看新增加的费

米子都是正常的;③保持 $SU(5)$ 的 GUT 中所有成功的结果,同时克服了它对质子衰变的预言与实验不符合的困难。

为达到上述预期的物理结果, $SU(6)$ 模型将采取如下的破缺链条^[6]

$$\begin{aligned}
 SU(6) &\xrightarrow{\text{adj. } H_1, M_4} SU(5) \times U(1) \\
 &\quad \quad \quad g_5 \quad \quad g' \\
 &\xrightarrow{\text{adj. } H_2, M_3} SU(3)_c \times SU(2)_L \times U(1) \times U(1) \quad (1) \\
 &\quad \quad \quad g_2 \quad \quad g_1 \quad \quad g' \\
 &\xrightarrow{\text{vect. } h_1, M_2} SU(3)_c \times SU(2)_L \times U(1)_Y \\
 &\xrightarrow{\text{vect. } h_2, M_{W, Z}} SU(3)_c \times U(1)_{em}.
 \end{aligned}$$

只要用两个伴随表示的 Higgs H_i 和两个矢量表示 Higgs $h_i (i = 1, 2)$, 则可依次实现 (1) 的自发破缺并获得规范玻色子的质量。与中性流有关的规范玻色子的对角部分可写成

$$\begin{aligned}
 \text{Diagonal } A = &\left(G_1^2 - \frac{2}{\sqrt{30}} B \mp \frac{1}{10\sqrt{3}} A, G_2^2 - \frac{2}{\sqrt{30}} B \mp \frac{1}{10\sqrt{3}} A, \right. \\
 &G_3^2 - \frac{2}{\sqrt{30}} B \mp \frac{1}{10\sqrt{3}} A, \frac{W^3}{\sqrt{2}} + \frac{3}{\sqrt{30}} B \mp \frac{\sqrt{3}}{5} A, \\
 &\left. -\frac{W^3}{\sqrt{2}} + \frac{3}{\sqrt{30}} B \mp \frac{\sqrt{3}}{5} A, \frac{\pm\sqrt{3}}{2} A \right). \quad (2)
 \end{aligned}$$

(2) 式中的正负号是由于矩阵迹为零的条件而来,以下公式中正负号均出自于此。费米子填充 15 维和两个厄米共轭 6^* 维的表示

$$(\phi^{ab})_L = \frac{1}{\sqrt{2}} \begin{pmatrix} 0 & u_1^c & -u_2^c & -u^1 & -d^1 & -D^1 \\ -u_1^c & 0 & u_1^c & -u^2 & -d^2 & -D^2 \\ u_2^c & -u_1^c & 0 & -u^3 & -d^3 & -D^3 \\ u^1 & u^2 & u^3 & 0 & -e^+ & -E^+ \\ d^1 & d^2 & d^3 & e^+ & 0 & E^0 \\ D^1 & D^2 & D^3 & E^+ & -E^0 & 0 \end{pmatrix}_L. \quad (3)$$

$$(\phi_{1a})_L = \begin{pmatrix} d_1^c \\ d_2^c \\ d_3^c \\ e^- \\ -\nu_e \\ I^0 \end{pmatrix}_L, \quad (4) \quad (\phi_{2b})_L = \begin{pmatrix} F_1 \\ F_2 \\ F_3 \\ G^- \\ -G^0 \\ H^0 \end{pmatrix}_L. \quad (5)$$

费米子表示仅能和矢量表示 Higgs h_i 构成 Yukawa 耦合,在自发破缺后获得费米子质量

$$\begin{aligned}
 m_d &= m_e = g'u, \\
 m_u &= 8g'\nu, \quad 8\nu \approx u.
 \end{aligned} \quad (6)$$

$\sin^2\theta_w(q^2)$ 和 $\frac{\alpha(q^2)}{\alpha_s(q^2)}$ 对 q^2 依赖的公式可由重整化群方程算得, 由于在这些公式中包含一个可调节的自由参数 $\frac{M_6^2}{M_3^2}$, 自然可以获得质子衰变的实验值。

目前正在运行和即将运行的高能加速器大大推进了寻找额外 z^0 玻色子的实验, 使得这方面的实验日益精确^[12]. 因此与实验比较的各种模型和方法与日遽增^[13,11]. 从区别额外 z^0 来源于哪个模型的角度看, 近来 Boudjema 等人^[14] 的办法较好, 它能将各种不同的模型清楚地区分出来, 并给出易与实验比较的数量值和曲线. 本文拟用他们的方法对 $SU(6)$ 模型中额外 z^0 玻色子进行计算和分析, 以便与其它模型和实验比较, 进一步确定额外 z^0 玻色子的理论来源。

二、

如果仅有一个额外 z^0 玻色子, 并将它定义成 z_2^0 , 那么在树图近似下, z_2^0 与带电费米子的耦合的等效拉氏量定义成

$$\mathcal{L}_{z_2^0 \rightarrow f\bar{f}} = G_2 J_{z_2^0}^\mu Z_{2\mu} \quad (7)$$

$$G_2 J_{z_2^0}^\mu = \sum_f \bar{f} \gamma^\mu [\nu_f(z_2^0) + \gamma^5 a_f(z_2^0)] f. \quad (8)$$

其中

$$\nu_v(z_2^0) = -a_v(z_2^0) = \frac{-1}{4} \sqrt{g_1^2 + g_2^2} \cdot \sin \varphi. \quad (9)$$

$$\nu_l(z_2^0) = \frac{1}{4} \sqrt{g_1^2 + g_2^2} \cdot \sin \varphi \cdot (1 - 4\sin^2\theta_w). \quad (10)$$

$$a_l(z_2^0) = \frac{-1}{4} \sqrt{g_1^2 + g_2^2} \cdot \sin \varphi. \quad (11)$$

$$\nu_u(z_2^0) = \frac{1}{4} \left[\mp \cos \varphi \cdot g' + \sqrt{g_1^2 + g_2^2} \cdot \sin \varphi \cdot \left(\frac{8}{3} \sin^2\theta_w - 1 \right) \right]. \quad (12)$$

$$a_u(z_2^0) = \frac{1}{4} \left[\mp 3g' \cos \varphi + \sqrt{g_1^2 + g_2^2} \cdot \sin \varphi \right]. \quad (13)$$

$$\nu_d(z_2^0) = \frac{1}{4} \left[\pm 2g' \cos \varphi + \sqrt{g_1^2 + g_2^2} \cdot \sin \varphi \left(1 - \frac{4}{3} \sin^2\theta_w \right) \right]. \quad (14)$$

$$a_d(z_2^0) = \frac{-1}{4} \sqrt{g_1^2 + g_2^2} \cdot \sin \varphi. \quad (15)$$

$$\nu_D(z_2^0) = -a_D(z_2^0) = \frac{1}{4} \left[\mp g' \cos \varphi - \frac{2}{3} \sqrt{g_1^2 + g_2^2} \cdot \sin \varphi \cdot \sin^2\theta_w \right]. \quad (16)$$

$$\nu_{E^+}(z_2^0) = -a_{E^+}(z_2^0) = \frac{1}{4} \left[\mp 3g' \cos \varphi + \sqrt{g_1^2 + g_2^2} \cdot \sin \varphi (2\sin^2\theta_w - 1) \right]. \quad (17)$$

$$\nu_{E^0}(z_2^0) = -a_{E^0}(z_2^0) = \frac{1}{4} \left[\mp 3g' \cos \varphi + \sqrt{g_1^2 + g_2^2} \cdot \sin \varphi \right]. \quad (18)$$

$$\nu_F(z_2^0) = -a_F(z_2^0) = \frac{1}{4} \left[\mp g' \cos \varphi + \sqrt{g_1^2 + g_2^2} \cdot \sin \varphi \cdot \sin^2\theta_w \right]. \quad (19)$$

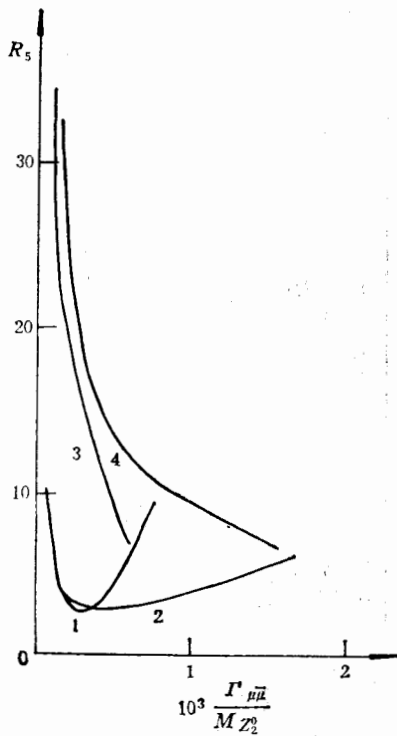


图 1

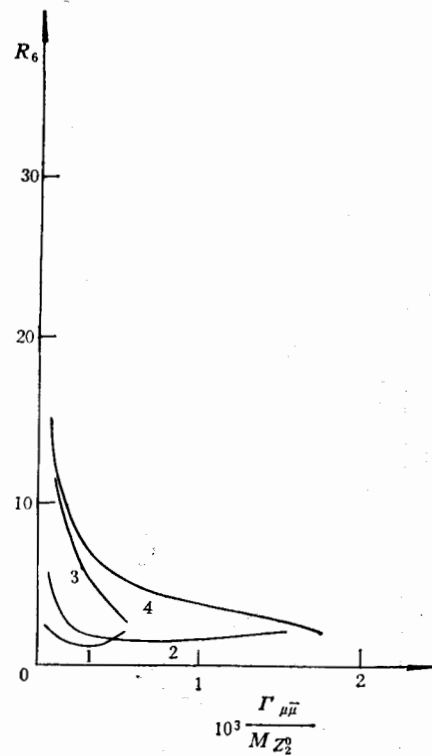


图 2

$$\nu_1^0(z_2^0) = -a_1^0(z_2^0) = \pm \frac{3}{4} g' \cos \varphi. \quad (20)$$

$$\nu_H^0(z_2^0) = -a_H^0(z_2^0) = \pm \frac{3}{4} g' \cos \varphi. \quad (21)$$

$$\nu_G^0(z_2^0) = -a_G^0(z_2^0) = \frac{-1}{4} \sqrt{g_1^2 + g_2^2} \cdot \sin \varphi. \quad (22)$$

$$\nu_{G^-}(z_2^0) = -a_{G^-}(z_2^0) = \frac{1}{4} \sqrt{g_1^2 + g_2^2} \cdot \sin \varphi \cdot (1 - 2\sin^2 \theta_W). \quad (23)$$

在方程(9)至(23)式中, g_2 , g_1 和 g' 依次是(1)式中 $SU(2)$ 、 $U(1)$ 和 $U(1)'$ 的中性规范玻色子与带电费米子的耦合常数, $\sin^2 \theta_W$ 是 Weinberg 角, φ 是 z 和 z' 的混合角

$$\begin{cases} z_1^0 = \cos \varphi \cdot z^0 + \sin \varphi \cdot z^{0'}, \\ z_2^0 = \sin \varphi \cdot z^0 - \cos \varphi \cdot z^{0'}. \end{cases} \quad (24)$$

在方程(24)中, z^0 是标准模型 z^0 玻色子, $z^{0'}$ 是未与 z^0 混合的额外 z^0 玻色子.

在共振峰上 z_2^0 玻色子衰变到正反费米子的宽度是

$$\Gamma_{z_2^0 \rightarrow f\bar{f}} = \frac{m_{z_2^0}}{12\pi} \sqrt{1 - \frac{4m_f^2}{m_{z_2^0}^2}} \cdot \left\{ (|\nu_f(z_2^0)|^2 + |a_f(z_2^0)|^2) \right\}$$

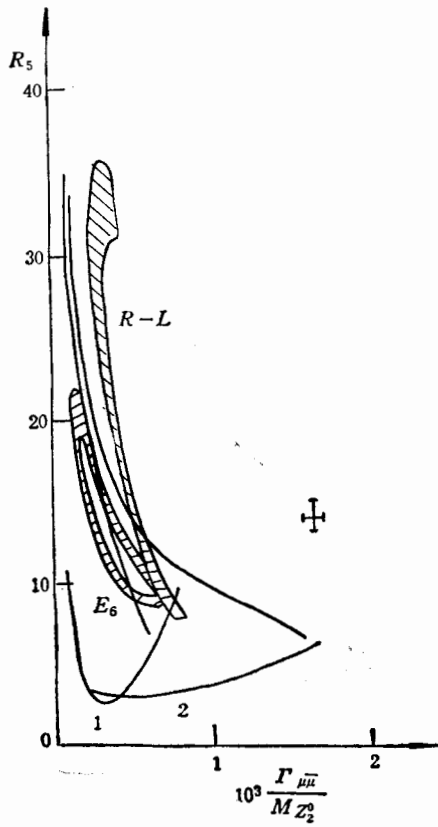


图 3

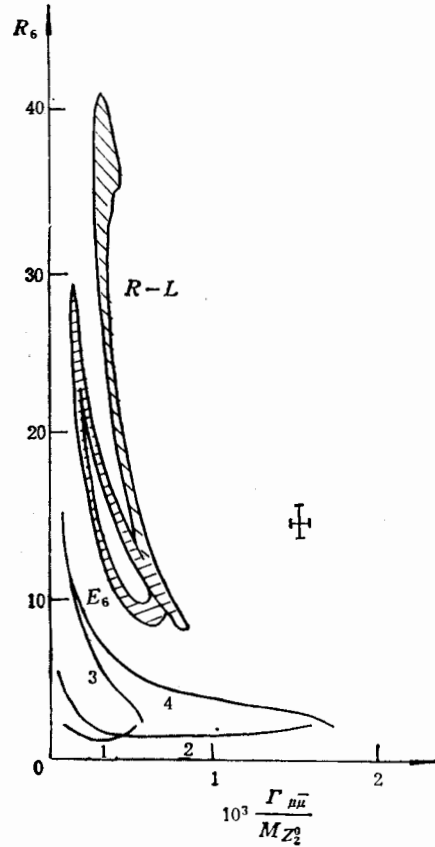


图 4

$$+ \frac{2m_t^2}{m_{z_2^0}^2} (|\nu_t(z_2^0)|^2 - 2|a_t(z_2^0)|^2) \}. \quad (25)$$

如果 $m_{z_2^0}^2 > 2m_t^2$, 包括 t 夸克的质量 m_t 比 $m_{z_2^0}$ 足够的小, 则 (25) 式可近似为

$$\Gamma_{z_2^0 \rightarrow f\bar{f}} = \frac{m_{z_2^0}^2}{12\pi} (|\nu_t(z_2^0)|^2 + |a_t(z_2^0)|^2). \quad (26)$$

为跟实验和其它模型比较由 (26) 式可求得如下的表示式:

$$\frac{\Gamma_{z_2^0 \rightarrow \mu\bar{\mu}}}{m_{z_2^0}^2} = \frac{(g_1^2 + g_2^2)(1 - 2\sin^2\theta_w)}{96\pi} \cdot \sin^2\varphi. \quad (27)$$

$$R_5 \equiv \frac{\Gamma_{z_2^0 \rightarrow u, d, s, c, b}}{\Gamma_{z_2^0 \rightarrow \mu\bar{\mu}}} \\ = \frac{1}{2(1 - 2\sin^2\theta_w)} \cdot \left\{ \frac{g'^2(1 - 2\sin^2\theta_w)}{3\pi} \frac{1}{\left(\frac{\Gamma_{\mu\bar{\mu}}}{m_{z_2^0}^2}\right)} \right\}$$

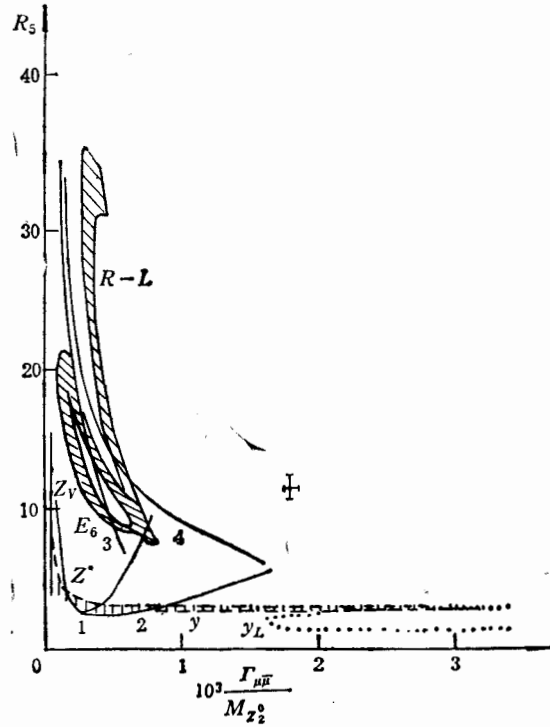


图 5

$$\mp \frac{4g' \left(5 + \frac{4}{3} \sin^2 \theta_w \right)}{\sqrt{g_1^2 + g_2^2}} \sqrt{\frac{(g_1^2 + g_2^2)(1 - 2\sin^2 \theta_w) - 1}{96\pi \left(\frac{\Gamma_{\mu\nu}}{m_{z_2^0} \right)}}} - \frac{32g'}{g_1^2 + g_2^2} + 2 \left(\frac{8}{3} \sin^2 \theta_w - 1 \right)^2 + 3 \left(\frac{4}{3} \sin^2 \theta_w - 1 \right)^2 + 5 \}. \quad (28)$$

$$R_6 = \frac{\Gamma_{z_2^0 \rightarrow u, d, s, c, b, \tau}}{\Gamma_{z_2^0 \rightarrow \mu\nu}} = \frac{1}{2(1 - 2\sin^2 \theta_w)} \cdot \left\{ \frac{7g'^2(1 - \sin^2 \theta_w)}{48\pi \left(\frac{\Gamma_{\mu\nu}}{m_{z_2^0} \right)} \mp \frac{8g'}{\sqrt{g_1^2 + g_2^2}} \sqrt{\frac{(g_1^2 + g_2^2)(1 - 2\sin^2 \theta_w) - 1}{96\pi \left(\frac{\Gamma_{\mu\nu}}{m_{z_2^0} \right)}}} - \frac{14g'^2}{g_1^2 + g_2^2} + \left(\frac{8}{3} \sin^2 \theta_w - 1 \right)^2 + \left(\frac{4}{3} \sin^2 \theta_w - 1 \right)^2 + 2 \right\}. \quad (29)$$

在方程(28)和(29)中,我们用了 $\sin^2 \theta_w = 0.23$, g_2 , g_1 和 g' 以实验值输入用重整群

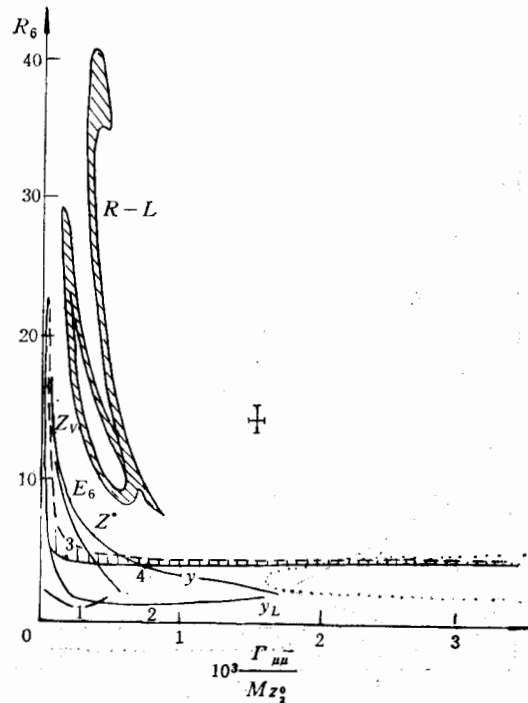


图 6

方程求出。最后得到 R_5, R_6 和 $\frac{\Gamma_{\mu\nu}}{m_{z^0}}$ 的关系曲线, 见图 1 和图 2。在图 1 和图 2 中曲线

1 至 4 的差别由于 (2) 式中在中性玻色子 A 前面的正负号, 因此曲线 1 至 4 只能最终由实验选择。若 z_2^0 实验点落在图 1 或图 2 上, 则可由 (27) 式求出 z^0 和 $z^{0'}$ 的混合角 φ 。在方程 (28) 和 (29) 中, R_5 或 R_6 是 $\frac{\Gamma_{\mu\nu}}{m_{z^0}}$ 的函数, 此外不包含其它未知参数。这

是与 Boudjema 等人^[14]的 (25)、(26)、(28) 和 (29) 式不同的地方, 他们的公式中还包含两个未知参数 θ_M 和 β 混合角, 这是图 1—2 不能变成细长片状 (Stripe) 的原因。图 3 (图 4) 是图 1 (图 2) 跟参考文献 [14] 的图 4 (图 5) 的比较图, 易看出图 1 中的曲线 1 和 4 跟参考文献 [14] 中图 4 的左右对称模型 (LRM) 的曲线有共同的交叉点。图 1 的曲线 3 跟文献 [14] 中图 4 的 E_6 模型的曲线有交叉点。图 2 的曲线跟文献 [14] 图 5 的曲线无任何交叉, 这就将 $SU(6)$ 、 E_6 和左右对称的模型完全区分开来。图 5 (图 6) 是图 1 (图 2) 跟文献 [14] 的图 6 (图 7) 的比较。文献 [14] 的图 6 (图 7) 是在图 4 (图 5) 中再加两个包括额外 z^0 玻色子模型的曲线, 新加进去的两个额外 z^0 玻色子是复合粒子模型。

如果 t 夸克的质量不比额外 z^0 的质量足够的小, 则对 R_6 的计算应该用 (25) 式或更精确的公式。

由于实验家对寻找额外 z^0 玻色子的兴趣和能量更高的加速器不断建成^[2,12], 关于额外 z^0 的研究和辨认将会有较大的发展, 由图 1 至图 6 的各种模型的曲线将会跟实验数据做更好的比较, 从而使理论模型得到检验。

参 考 文 献

- [1] 高崇寿和吴丹迪, *Phys. Rev.*, **D23**(1981), 2686.
- [2] M. Cvetič and B. W. Lynn, *Phys. Rev.*, **D35**(1987), 51;
F. Boudjema, F. M. Renard and C. Verzegnassi, *Nucl. Phys.*, **B314**(1989), 301; *Phys. Lett.*, **B214**(1988), 151;
F. M. Renard and C. Verzegnassi, *Phys. Lett.*, **B217**(1989), 199; **B221**(1989), 197.
- [3] R. N. Mohapatra, *Unification and Supersymmetry* (Springer, Berlin, 1986).
- [4] H. Georgi, E. E. Jenkins and E. H. Simmons, *Phys. Rev. Lett.*, **62**(1989), 2789, Harvard Report HUTP-89/A023.
- [5] J. L. Hewett and T. G. Rizzo, *Phys. Rep.*, **183**(1989), 193 and references therein.
- [6] Li Tie-Zhong, *Mod. Phys. Lett.*, **A3**(1988), 1183; *Phys. Rev.*, **D40**(1989), 1697; *Inter. Journ. of Theore. Phys.*, **28**(1989), 169.
- [7] I. Antoniadis, J. Ellis, J. Hagelin and D. V. Nanopoulos, *Phys. Lett.*, **B194**(1987), 231; **B205**(1988), 459; **B208**(1988), 209.
- [8] R. Barbieri and L. J. Hall, Report UCB-PTH-88/25; A. Font, L. E. Ibanez and F. Quevedo, preprints CERN-TH-5415/89.
- [9] H. Georgi, *Nucl. Phys.*, **B156**(1979), 126.
- [10] S. Rajpoot, *Phys. Rev.*, **D22**(1980), 2244;
H. Georgi and D. V. Nanopoulos, *Nucl. Phys.*, **B155**(1979), 16.
- [11] P. Langacker, G. Segre and H. A. Weldon, *Phys. Lett.*, **73B**(1978), 87, *Phys. Rev.*, **D18**(1978), 522;
P. H. Frampton, *Phys. Lett.*, **88B**(1979), 299, **89B**(1980), 352;
C. W. Kim and C. Roiesnel, *Phys. Lett.*, **93B**(1980), 343.
- [12] C. Ahn et al., SLAC report 329(May 1988).
- [13] L. S. Durkin and Paul Langacker, *Phys. Lett.*, **166B**(1986), 436;
V. Barger, N. G. Deshpande and K. Whisnant, *Phys. Rev. Lett.*, **56**(1986), 30.
- [14] F. Boudjema, B. W. Lynn, F. M. Renard and C. Verzegnassi, CERN-TH-5476/89.

One Plan of Identifying Various Extra z^0 Bosons Models

LI TIEZHONG

(CCAST (World Lab.) P. O. Box 8730, Beijing 100080;
Institute of High Energy Physics, Academia Sinica, Beijing 100039)

ABSTRACT

Boudjema et al. have found a very good method to identify the theoretical origin of an extra z boson. The method can separate different models. We calculate the z_2^0 decay width of $SU(6)$ model by using their method and compared with E_6 .